



مقاله پژوهشی

مطالعه بیان عوامل رونویسی MYB و WRKY، HD-ZIP، AP2-Domain در آفتابگردان روغنی (*Helianthus annuus* L.) تحت تنش خشکی

الهه اکبری^۱، رضا درویشزاده^{۲*}، بابک عبدالهی^۳، سینا بشارت^۴

۱. دانشجوی سابق کارشناسی ارشد بیوتکنولوژی کشاورزی، گروه تولید و ژنتیک گیاهی، دانشکده کشاورزی و منابع طبیعی، دانشگاه ارومیه، ارومیه
۲. استاد، گروه تولید و ژنتیک گیاهی، دانشکده کشاورزی و منابع طبیعی، دانشگاه ارومیه، ارومیه
۳. دانشیار، گروه تولید و ژنتیک گیاهی، دانشکده کشاورزی و منابع طبیعی، دانشگاه ارومیه، ارومیه
۴. دانشیار، گروه مهندسی آب، دانشکده کشاورزی و منابع طبیعی، دانشگاه ارومیه، ارومیه

تاریخ دریافت: ۹۸/۰۹/۰۸؛ تاریخ پذیرش: ۹۸/۱۲/۰۹

چکیده

به منظور بررسی تأثیر تنش خشکی بر بیان عوامل رونویسی MYB و WRKY، HD-ZIP، AP2-Domain در آفتابگردان روغنی، دو لاین با واکنش متغیر انتخاب و در قالب طرح کاملاً تصادفی با ۳ تکرار در گلخانه در سال زراعی ۱۳۹۵-۱۳۹۶ کشت شدند. گیاهان تا مرحله ۸ برگی از لحاظ وضعیت آبی در ۱۰۰ درصد ظرفیت زراعی نگهداری شدند. بعد از این مرحله تعدادی از گلدان‌ها در همان ظرفیت زراعی نگهداری شدند، اما به بقیه تنش خشکی ۸۰، ۶۰ و ۴۰ درصد ظرفیت زراعی اعمال شد. نمونه برداری از گیاهان یک و سه هفته بعد از اعمال تنش انجام گرفت. مطالعه بیان ژن‌های مذکور با استفاده از تکنیک واکنش زنجیره‌ای پلی‌مراز در زمان واقعی انجام شد. مقایسات میانگین بیان عوامل رونویسی ENSAT254 و MYB در دو لاین LC1064C (متحمل) و LC1064C (حساس) نشان داد که بیان ژن‌ها یک هفته بعد از اعمال تنش در شدت تنش‌های مختلف محسوس نبوده اما در هفته سوم بعد از اعمال تنش در شدت ۴۰ درصد میزان بیان ژن‌ها خصوصاً در لاین ENSAT254 افزایش یافته است. در رابطه با عامل رونویسی-HD-ZIP میزان بیان یک هفته بعد از اعمال تنش در شدت تنش ۴۰ درصد در لاین LC1064C خیلی بیشتر از لاین LC1064C بود. میزان بیان در هفته سوم بعد از اعمال تنش در هر دو لاین در شدت تنش ۴۰ درصد افزایش یافت، هرچند افزایش بیان در لاین LC1064C اندکی بیشتر بود؛ بنابراین، به نظر می‌رسد بیان زودهنگام عامل رونویسی HD-ZIP در افزایش مقاومت ژنتیک به تنش خشکی دخیل باشد. یافته‌های این تحقیق می‌تواند در برنامه‌های اصلاحی آفتابگردان برای تولید و توسعه ارقام متتحمل به تنش خشکی مفید و فایده واقع شود.

واژه‌های کلیدی: بیان ژن، تنش کم آبی، فاکتورهای رونویسی، واکنش زنجیره‌ای پلی‌مراز در زمان واقعی

مقدمه

در سال ۲۰۱۷ حدود ۲۶۵۳۳۰ هکتار و میزان محصول برداشت شده حدود ۴۷۷۶۳۰۰۰ تن برآورد شده است (FAO, 2017).

تنش‌های محیطی از قبیل تنش خشکی، شوری، دمای غیرمعمول، مسمومیت با فلزات سنگین، تابش UV از تهدیدات جدی برای رشد، سوخت‌وساز و بهره‌وری گیاهان

آفتابگردان با نام علمی *Helianthus annuus* L. گیاهی (Compositae)، یک‌پایه، دولپه از تیره‌ی مرکبان است. این جنس دارای گونه‌های دیپلولئید، تترالپلولئید و هگزاپلولئید است که آفتابگردان زراعی جزو گونه‌های دیپلولئید با تعداد کروموزوم پایه $n=17$ است. آفتابگردان عمده‌ای به خاطر رogen خوارکی آن کشت می‌شود. سطح زیر کشت آفتابگردان

Mare et al., 2011) WRKY (MYB, Aharoni et al., 2004) AP2-Domain (Javelle, 2006) HD-ZIP (Yamaguchi-Shinazaki, 2004) (et al., 2011) بارزترین نقش را در پاسخ به تنش‌ها دارند. در مورد نقش عوامل رونویسی مختلف به طور هم‌مان، به عنوان ژن‌های تنظیم‌گر مهم در تنش خشکی تحقیقات اندکی صورت گرفته است. از طرفی از نظر مولکولی هم‌پوشانی بسیاری بین مسیرهای پاسخ به خشکی، شوری، سرما و مسیر ترارسانی ABA در گیاهان وجود دارد (Zhang et al., 2009). در پژوهش حاضر، به منظور بررسی عوامل رونویسی دخیل در مقاومت آفتابگردان به تنش خشکی دو لاین با واکنش حساسیت متفاوت به خشکی انتخاب گردید و میزان بیان آن‌ها یک و سه هفتۀ بعد از اعمال شدت‌های مختلف تنش خشکی با تکنیک واکنش زنجیره‌ای پلی مراز در زمان واقعی (Real-time PCR) (بررسی شد.

مواد و روش‌ها

مواد گیاهی و اعمال تیمار تنش خشکی

بر اساس مطالعات پیشین دو لاین آفتابگردان روغنی [ENSAT254 (لاین متحمل) و LC1064C (لاین حساس)] با واکنش متفاوت به تنش خشکی انتخاب گردید (Soleimani et al., 2018). بذر لاین‌ها از موسسه ملی تحقیقات آگرونومی^۱ فرانسه تهیه شد. بذور در گلدان‌های پلاستیکی با قطر دهانه ۳۰ سانتی‌متر و ارتفاع ۲۵ سانتی‌متر کشت شدند. در کف گلدان‌ها به مقدار مساوی، قبل از پر کردن با بستر کشت، مقداری سنگریزه جهت انجام زهکشی ریخته شد. گیاهان در شرایط کنترل شده در دمای روزانه حدود ۲۵–۲۰ درجه سانتی‌گراد و دمای شباهنچه حدود ۲۰–۲۵ درجه سانتی‌گراد و شدت نور حدود ۱۰۰۰–۸۰۰۰ لوکس و فتوپریود تاریکی/ روشنایی ۱۲ ساعت به مدت ۶ هفته تا مرحله ۸–۶ برگی در گلخانه تحقیقاتی دانشکده کشاورزی و منابع طبیعی دانشگاه ارومیه پرورش یافتند. گیاهان تاریخ داده به مرحله ۸–۶ برگی به طور یکسان (۱۰۰ درصد ظرفیت زراعی) آبیاری شدند و از این مرحله به بعد سطوح مختلف تنش خشکی ۴۰، ۶۰ و ۸۰ درصد ظرفیت زراعی اعمال شد

می‌باشد (Hasanuzzman et al., 2013, 2014). تنش خشکی بیشتر از سایر عوامل مانند گرما، سرما، فلزات سنگین؛ رشد و توزیع طبیعی پوشش‌های گیاهی را محدود می‌نماید (Athar and Ashraf, 2005). بر حسب تعريف، مقاومت به خشکی (به عنوان یکی از تنش‌های اسموتیک) توانایی گونه‌ها یا ارقام از نظر رشد و تولید در شرایط کم‌آبی است. تأثیر یک دوره خشکی طولانی بر سوخت‌وساز گیاه به عوامل زیادی بستگی دارد که از آن جمله می‌توان به زمان وقوع تنش خشکی (مرتبط با دوره‌ی رشد گیاه)، ظرفیت نگهداری آب خاک و خصوصیات فیزیولوژیک گیاه اشاره کرد.

خشکی علاوه بر تنش اسمزی فرآیندهای اکسیداتیو را در سلول‌های گیاهی القا می‌کند که این فرآیندها با تولید ROS (Reactive oxygen species) آغاز می‌شوند (Heidarvand and Amiri Maali, 2013). تجمع ROS در سلول باعث فعال شدن مسیرهای سیگنال دهی اختصاصی می‌شود که نتیجه آن تنظیم بیان ژن‌ها و تغییر در سنتز و فعالیت پروتئین‌ها است که درنهایت سلول را برای سازگاری با شرایط جدید آماده می‌کنند (Dynowski et al., 2008; Lohar et al., 2007). بررسی و مطالعه‌ی بیان ژن‌ها متعاقب تنش و شناسایی ژن‌های دخیل در مقاومت و به خصوص ژن‌های تنظیم‌گر همچون عوامل رونویسی که نقش مهمی در فرآیند پاسخ به تنش در گیاهان بازی می‌کنند، مهم و حیاتی است. تحقیقات مرتبط با سازوکار تحمل به شرایط نامساعد محیطی در آفتابگردان در سطح مولکولی اطلاعات را افزایش داده و تولید ارقام متحمل به تنش‌های غیر زیستی از طریق بیوتکنولوژی را هموار می‌نماید (Rabbani et al., 2003).

ماهیت مقاومت گیاهان به تنش‌های محیطی عمدهاً کمی است، به عبارتی تعداد زیادی ژن باید القاء و مهار شوند تا پاسخ کارآمدی در برابر تنش‌های محیطی حاصل شود. عوامل رونویسی بیان همزمان تعداد زیادی ژن را کنترل می‌کنند. این عوامل نقطه‌ی تلفیق مسیرهای پیامرسانی هستند که پاسخ معمول گیاه به تنش را کنترل می‌کنند. عوامل رونویسی از اجزای کلیدی در کنترل بیان ژن در همهٔ بافت‌های زنده می‌باشد (Chew et al., 2013). حدود ۱۳۰۰ الی ۱۵۰۰ عامل رونویسی در گیاهان شناسایی شده است که برخی از آن‌ها در پاسخ به تنش‌ها نقش دارند (Gof et al., 2013; Riechmann et al., 2000).

^۱. Institut National de la Recherche Agronomique; INRA

اول: ۲ لاین آفتباگردان، فاکتور دوم: ۳ سطح تنش خشکی و فاکتور سوم: ۲ زمان نمونه برداری) با طرح پایه کاملاً تصادفی در سه تکرار اجرا شد (شکل ۱). آزمایش بعد از تصادفی کردن نقشه‌ی طرح اجرا شد.

Pormohammad Kiani et al., 2007; Darvishzadeh et al., 2010, 2011 (). نمونه برداری از گیاهان یک و سه هفتۀ بعد از اعمال تنش انجام گرفت. بعد از نمونه برداری، نمونه های برگی در داخل نیتروژن مایع به فریزر با دمای ۸۰- درجه سانتی گراد منتقل شدند. آزمایش به صورت فاکتوریل (فاکتور

		Tolerant line			Lain Montahem	
		Replication			تکرار	
زمان نمونه برداری		1	2	3		
اول First	100	80	100	80	100	80
	100	60	100	60	100	60
	100	40	100	40	100	40
	100	80	100	80	100	80
	100	60	100	60	100	60
	100	40	100	40	100	40
		Susceptible line			Lain Hassas	
زمان نمونه برداری		Replication			تکرار	
Smpling time		1	2	3		
اول First	100	80	100	80	100	80
	100	60	100	60	100	60
	100	40	100	40	100	40
	100	80	100	80	100	80
	100	60	100	60	100	60
	100	40	100	40	100	40

شکل ۱. شماتیک کلی از آزمایش بررسی تأثیر تنش خشکی بر میزان بیان عوامل نسخه برداری در ۲ لاین آفتباگردان روغنی؛ ۷ و ۲۱ روز بعد از اعمال تنش. به عنوان نمونه، واحد آزمایشی را نشان می دهد که در آن گیاه تحت تنش ۴۰ درصد ظرفیت زراعی در کنار گیاه شاهد تحت شرایط ۱۰۰ ظرفیت زراعی رشد می کند.

Fig. 1. General scheme of experiment to investigate the effect of drought stress on the expression level of transcription factors in 2 oilseed sunflower lines; 7 and 21 days after stress application. It shows, for example, an experimental unit in which the plant grows under 40% field capacity near to control plant under 100 field capacity conditions.

در ازت مایع خرد و هموژنیزه شد. سپس ۶۰۰ میکرولیتر بافر RNX-plus به لوله حاوی پودر نمونه اضافه شد و بعد از ۱۰ تا ۱۵ ثانیه ور تکس کردن، یک میکرولیتر مرکاپتواتانول^۱ به لوله حاوی پودر و بافر RNX-plus اضافه گردید و به مدت ۵ دقیقه در دمای اتاق (۲۵ درجه سانتی گراد) قرار داده شد.

استخراج RNA

استخراج RNA از نمونه های برگی با استفاده از محلول استخراج RNX-plusTM (شرکت سیناکلون، ایران) مطابق دستورالعمل پیشنهادی شرکت سازنده بر روی یخ انجام شد. به طور خلاصه ابتدا نمونه گیاهی به اندازه ۵۰ تا ۱۰۰ میلی گرم

^۱. Mercaptoethanol

cDNA سنتز

قبل از سنتز cDNA، تیمار DNA برای حذف RevertAidTM ژنومی طبق دستورالعمل موجود در کیت #K1621، Thermo First Strand cDNA Synthesis (Scientific, USA) انجام گرفت. ساخت cDNA با استفاده از کیت Revert Aid First Strand cDNA Synthesis طبق پروتکل شرکت سازنده انجام شد. بدین منظور در لوله استریل ۰/۲ میلی‌لیتری، به مقدار ۵ میکرولیتر آب عاری از نوکلئاز ریخته شد. سپس ۶ میکرولیتر RNA استخراج شده (۲ میکروگرم) و ۱ میکرولیتر آغازگر الیگو dT (dT18) اضافه شد. پس از انجام یک سانتریفیوژ پالسی، لوله حاوی مواد به مدت ۵ دقیقه در دمای ۶۵°C قرار گرفت. پس از سرد شدن لوله حاوی مواد روی بین، یک ورتکس نرم (ورتکس با زمان کوتاه و دور گند) انجام گرفت. سپس ۴ میکرولیتر بافر واکنش x5، ۱ میکرولیتر آنزیم RibolockTM RNase Inhibitor (۱ میکرومولار) و ۱ میکرومولار آنزیم Transcriptase (۰۰۰ واحد در RevertAidTM M-MuLV Reverse Transcriptase) به لوله حاوی مواد اضافه شد. بعد از انجام سانتریفیوژ پالسی، لوله حاوی مواد به مدت ۶۰ دقیقه در دمای ۴۲°C و به مدت ۵ دقیقه در دمای ۷۲°C قرار داده شد. برای بررسی صحت کیفیت cDNA سه واکنش: کنترل منفی-RT، کنترل منفی NTC (بدون الگو) و کنترل مثبت در نظر گرفته شد. همچنین جهت بررسی کیفیت cDNA با استفاده از آغازگرهای ژن‌ها روی cDNA انجام گرفت (شکل ۲b).

واکنش زنجیره‌ای پلی مراز در زمان واقعی (Real-time PCR)

برای انجام Real-time PCR از کیت Maxima SYBR Green/Fluorescence qPCR Master Mix (2x) شرکت فرمنتاز استفاده شد. دوره‌های زمانی جهت تکثیر ژن‌های موردنظر با توجه به توالی آغازگرهای آغازگرها و محصول حاصل از تکثیر ژن تعیین شد. Real-time PCR در حجم ۱۲/۵ میکرولیتر شامل ۶/۲۵ میکرولیتر از کیت Maxima SYBR

سپس ۲۰۰ میکرولیتر کلروفرم^۱ به محلول اضافه و به مدت ۱۵ دقیقه در روی یخ قرار داده شد. محلول به مدت ۱۵ دقیقه با دور ۱۳۰۰۰ rpm سانتریفیوژ (Model: Velocity 14R, French) گردید. بعد از جدا کردن فاز رویی، هم حجم آن ایزوپروپانول^۲ اضافه شد. بعد از مخلوط کردن، نمونه به مدت ۳۰ دقیقه در دمای ۲۰-۲۰ درجه سانتی‌گراد قرار گرفت. سپس به مدت ۱۵ دقیقه با دور ۱۲۰۰۰ rpm سانتریفیوژ شد. سپس رسوب حاصل با اتانول ۷۵٪ شستشو و ۲۵ میکرولیتر آب عاری از نوکلئاز به رسوب اضافه شد و در دمای ۶۰ درجه سانتی‌گراد به مدت ۱۰ دقیقه قرار داده شد. برای ارزیابی کیفیت RNA استخراج شده از الکتروفوروز ژل آگارز یک درصد استفاده شد. ژل آگارز در تانک الکتروفوروز حاوی بافر TBE^۳ یک برابر قرار گرفت و مقدار ۵ میکرولیتر RNA استخراج شده و ۶ میکرولیتر بافر بارگذاری^۴ (شامل ۹۸ میلی‌لیتر فرمامید^۵، ۲ میلی‌لیتر EDTA^۶ نیم مولار با اسیدیته ۸، ۰/۰۲۵ گرم پودر گزینن سیانول^۷ و ۰/۰۲۵ گرم بروموفنول بلو^۸) مخلوط شده و در داخل چاهک ژل ریخته شد. الکتروفوروز با ولتاژ ۷۰ ولت و به مدت ۴۵ دقیقه انجام و عکس‌برداری از ژل با استفاده از دستگاه ژل داک انجام گرفت. استخراج شده حاوی RNA rRNA و tRNA است. حدود ۸۵ درصد mRNA بسیار کل را تشکیل می‌دهد ولی میزان mRNA S₅ پایین و کمتر از ۵ درصد RNA کل است. وجود باندهای S₅ rRNA_{۲۸} و ۱۸S rRNA_{۲۸} دلیل بر صحت پرسه RNA استخراج RNA است (شکل a2). کیفیت و غلظت RNA استخراج شده با استفاده از دستگاه نانودرایپ نیز مورد بررسی قرار گرفت. کیفیت RNA استخراج شده با استفاده از OD₂₆₀/OD₂₈₀^۹ بررسی شد. نسبت‌های بین ۱/۸ تا ۲ به لحاظ کیفیت مناسب بوده و برای ادامه آزمایش استفاده شد. جهت بررسی الگوی بیان عوامل رونویسی (AP2- WRKY, HD-ZIP, Domain MYB) تحت تنش خشکی در آفتتابگردان از آغازگرهای طراحی شده توسط (Darvishzadeh et al., 2008) درویش‌زاده و همکاران استفاده شد (جدول ۱).

⁶. Ethylenediaminetetraacetic acid

⁷. Xylene cyanol

⁸. Bromophenol blue

⁹. Optical density

¹. Chloroform (CHCl₃)

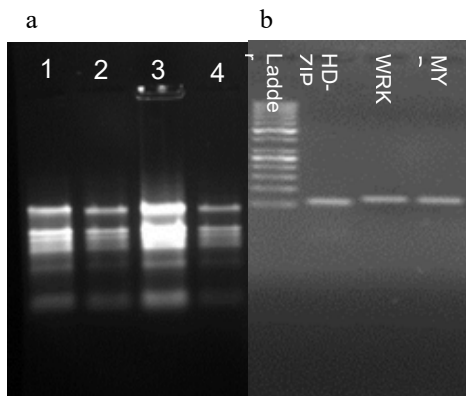
². Isopropanol (2-Propanol or Isopropyl alcohol)

³. Tris/Borate/EDTA

⁴. Loading buffer

⁵. Formamide (Methanamide)

که به صورت مبسوط با ذکر جزئیات توسط شاه و مَدِن (Shah and Madden, 2004) تشریح شده است در نرم افزار SAS نسخه ۹/۴ انجام شد. مقایسه میانگین تیمارها با روش توکی در سطح احتمال ۵ درصد در نرم افزار SAS نسخه ۹/۴ انجام گرفت. نمودارها با Excel نسخه ۲۰۱۶ رسم شدند.



شکل ۲. نتایج الکتروفورز در ژل آگارز یک درصد برای استخراج شده از تعدادی از نمونه‌ها (a) و محصول PCR عوامل رونویسی MYB، WRKY، HD-ZIP و cDNA سنتز شده (b). ستون اول در شکل b2 خط کش مولکولی 50 bp است که شامل باندهای 50-1000 bp است (ش. کت Fermentase).

Fig. 2. Electrophoresis results on 1% agarose gel for the extracted RNA (Figure a) and PCR product of HD-ZIP, WRKY and MYB transcription factors on the synthesized cDNA (Figure b). The first column in Figure b is a molecular ruler (ladder) of 50 bp containing bands of 50-1000 bp (Fermentase Company)

نتائج و بحث

تجزیه واریانس بر اساس آماره تیپ والد (Wald-type statistic) بر روی داده‌های بیان نشان می‌دهد که اثر تنش خشکی روی بیان نسبی همه عامل رونویسی موردنبررسی (MYB، WRKY و AP2-Domain، HD-ZIP) اثر زنوتیپ روی بیان نسبی AP2-Domain و MYB است. اثر زمان بر روی بیان نسبی همه عامل رونویسی موردنبررسی (HD-ZIP و WRKY) به‌غیراز AP2-Domain معنی‌دار بود. همچنین اثر متقابل دو جانبه تنش خشکی × زنوتیپ روی بیان نسبی WRKY، تنش خشکی × زمان روی بیان نسبی WRKY و AP2-Domain اثر زنوتیپ × مدت زمان پس از اعمال تنش خشکی روی بیان نسبی عامل رونویسی MYB

۰/۵ Green/Fluorescein qPCR Master Mix (2x) میکرولیتر از هر یک از آغازگرهای پیشرو^۱ (رفت) و پس رو^۲ (برگشت) (با غلظت ۱۰ میکرومولار، ۱/۲۵ میکرولیتر cDNA ۵۰۰ نانوگرم در هر میکرولیتر) و ۴ میکرولیتر آب عاری از نوکلئاز در ۳ تکرار زیستی یا آزمایشی^۳ و ۲ تکرار تکنیکی^۴ در دستگاه Q-Pure Detection- Rotor gene Qiagen مدل ۶۰۰۰ (شرکت کیاژن، آمریکا) با استفاده از برنامه ۱۵ دقیقه و اسرشت سازی اولیه در ۹۵ درجه سانتی گراد و ۴۰ چرخه شامل ۱۵ ثانیه در دمای ۹۵ درجه سانتی گراد (به منظور و اسرشت سازی)، ۳۰ ثانیه در دمای ۷۷ درجه اتصال آغازگرها (جدول ۱) و ۴۰ ثانیه در دمای ۷۲ درجه سانتی گراد (به منظور بسط) انجام شد. پس از انجام Real-time PCR، منحنی ذوب با افزایش دما در هر ثانیه ۰/۵ درجه سانتی گراد از ۴۵ تا ۹۵ درجه سانتی گراد برای هر کدام از ژن‌ها رسم شد و صحت تکثیر محصول مربوط به هر ژن با استفاده از منحنی ذوب مربوط به هر ژن تأیید شد (شکل ۳). به منظور نرمال نمودن داده‌های حاصل از Real-time PCR از ژن اکتین به عنوان ژن کنترل داخلی (ژن خانه‌دار یا مرجع) از ژن اکتین به عنوان ژن کنترل داخلی (ژن خانه‌دار یا مرجع) استفاده شد (جدول ۱).

تجزیه‌های آماری

برای محاسبه میزان نسبی بیان ژن نسبت به شاهد ۱۰۰
ظرفیت زراعی از روش (Pffafí, 2001) بهصورت زیر استفاده
شود:

$$Ct_{\text{نمونه تیمار}} = Ct_{\text{نمونه هدف تیمار}} - Ct_{\text{خانه دار}} \quad [1]$$

تجزیه داده‌های حاصل از میزان نسبی بیان ژن‌ها بر پایه طرح کاملاً تصادفی انجام گرفت. به دلیل نرمال نبودن توزیع شباهات آزمایشی، تجزیه آماری با روش ناپارامتری توسعه یافته توسط برونز و همکاران (Brunner et al., 2002)

4. Technical replicates

5. Threshold cycle

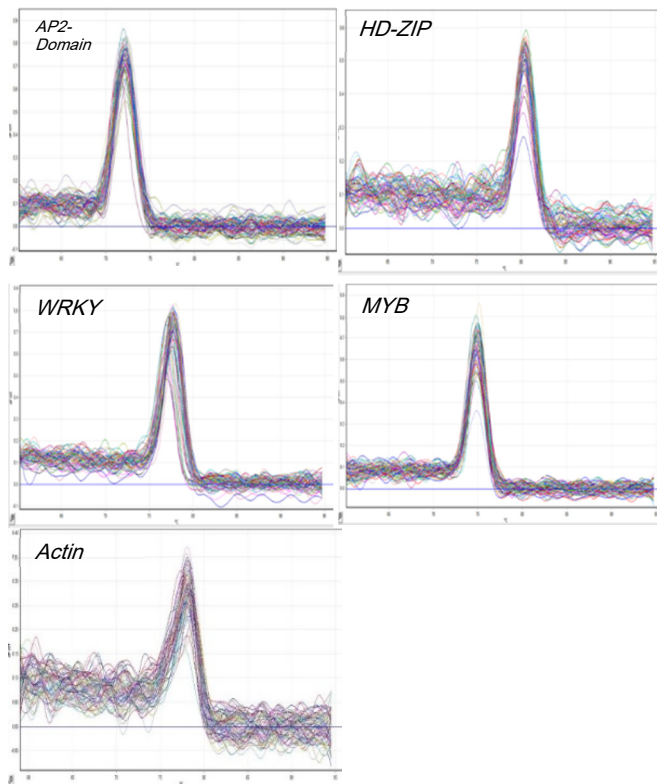
¹. Forward primer

2. Reverse primer

3. Biological or experimental replicates

ارائه نشده است. در مواردی همچون آزمایش مذکور که حجم نمونه مورد مطالعه قابل توجه است، تجزیه واریانس بر اساس آماره تیپ والد بر آنوا ارجحیت دارد (Shah and Madden, 2004).

و اثر متقابل ۳ جانبی تنش خشکی \times ژنتیپ \times مدت زمان روى بیان نسبی همه عامل رونویسی مورد بررسی (HD-ZIP, MYB و WRKY) به غیر از AP2-Domain معنی دار بود (جدول ۲). تجزیه واریانس بر اساس آماره تیپ آنوا (جدول ۲) نیز انجام گرفت که نتایج آن ANOVA-type statistic)



شکل ۳. منحنی های ذوب عوامل رونویسی مورد بررسی (Actin و MYB, WRKY, HD-ZIP, AP2-Domain) واکنش زنجیره ای پلی مراز در زمان واقعی گیاهان آفتابگردان تحت تنش خشکی. در نمودارها محور x دما (درجی سانتی گراد) و محور y نسبت dF به dT نسبت مشتق تابع فلورسانس در مقابل دمای ذوب است که نشان دهنده میزان تغییرات فلورسانس در واکنش است.

Fig. 3. Melting curves of studied transcription factors (AP2-Domain, HD-ZIP, WRKY, MYB and Actin) in real time polymerase chain reaction of sunflower plants under drought stress. In all curves, X axis represent temperature (°C) and Y axis represent the dF/dT ratio. dF/dT ratio is the derivative of the function ‘fluorescence vs. Temperature melting’ that represents the rate of the fluorescence variation in the reaction

جدول ۱. آغازگرهای اولیگونوکلئوتیدی مورد استفاده در واکنش زنجیره ای پلی مراز در زمان واقعی گیاهان آفتابگردان تحت تنش خشکی

Table 1. Oligonucleotide primers used in real-time RT-PCR of sunflower plants under drought stress

Name of sequence	Putative function	Accession number	دسترسی	عمل احتمالی	نام توالی	شماره	آغازگر پیش رو ۵'->3'	آغازگر پس رو ۵'->3'	آنالین g temp. (°C)	اندازه Product size (bp)	محصول اتصال
DH0AQAI1Z-A10RM1	AP2-domain	CX946549	CAAGAACTCGGCCAATTCTG				AGGAGTAGCAAGGCACCATCA		56	59	
DH0AQAI17Z-H04RM1	ZIP-HD	CX946945	GCAGCACATCGAGGACATCA				GGATCGCACCTCGTGGTTT		57	56	
AJ412452	WRKY	AJ412452	TTGGATTGAAGATGGTCATCTG			TGA	CCCTATTCAATTCTTCCACC	AAA	54	67	
DH0AC002ZF-08F08FM1	MYB-related transcription factor	CD848175	CCGCCACACGCATTCTCT				CGAGCGCAGCAGCATCTA		60	66	
AF282624	Actin		TCAATGTTCCCGCCATGTAT				GACCACTGGCATAGAGGGA	AAG	57	60	

جدول ۲- تجزیه واریانس تغییرات رونویسی عوامل روغنی مورد بررسی (WRKY، HD-ZIP، AP2-Domain و MYB) در دو لاین آفتابگردن روغنی تحت تنش خشکی در زمان‌های مختلف نمونه‌برداری ENSAT254 و LC1064C

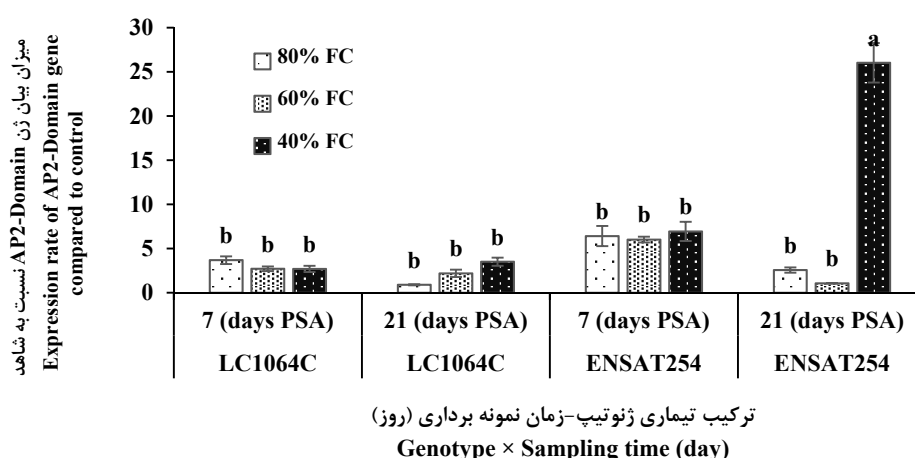
Table 2. Analysis of variance for transcriptome variations of studied transcription factors (AP2-Domain, HD-ZIP, WRKY, and MYB) in two oilseed sunflower lines (ENSAT254 and LC1064C) under drought stress at different sampling times

S.O.V	منابع تغییرات	آماره تیپ Wald type statistics / Wald					
		df _N	df _D	AP2-Domain	HD-ZIP	WRKY	MYB
Drought (D)	خشکی	2	24	6.07*	22.52**	1.37**	67.43**
Genotype (G)	ژنوتیپ	1	24	4.54*	0.07ns	2.87ns	3.19**
Time (T)	زمان	1	24	1.27ns	7.25**	12.84**	32.29**
D × G	خشکی × ژنوتیپ	2	24	3.22ns	1.80ns	1.15**	56.45ns
D × T	خشکی × زمان	2	24	10.38**	2.16ns	0.65**	27.43ns
G × T	ژنوتیپ × زمان	1	24	0.00ns	2.90ns	0.29ns	2.91**
T × D × G	زمان × خشکی × ژنوتیپ	2	24	2.29ns	7.02*	9.56**	32.04**

S.O.V: Source of variation

روز بعد از اعمال تنش خشکی)، تغییرات بیان ژن روند افزایشی نشان داد. بیشترین میزان بیان در هفته سوم نسبت به هفته اول در شدت تنش ۴۰ درصد مشاهده شد. درست است که در هر دو لاین میزان بیان در هفته سوم از نمونه‌برداری در شدت تنش ۴۰ درصد افزایش یافت اما میزان افزایش بیان در لاین ENSAT254 خیلی بیشتر از لاین LC1064C بود. نتایج نشان می‌دهد الگوی بیان ژن در ۲ ژنوتیپ متفاوت است که این حاکی از واکنش متفاوت ۲ ژنوتیپ به تنش خشکی است (شکل ۴).

مقایسه میانگین بیان ژن AP2-Domain در لاین ENSAT254 نشان داد که میزان بیان یک هفته بعد از اعمال تنش تغییرات محسوسی در شدت‌های مختلف تنش نداشت، اما در هفته‌ی سوم (۲۱ روز بعد از اعمال تنش خشکی) میزان بیان در تیمار ۴۰ درصد تنش خشکی نسبت به تیمارهای دیگر افزایش داشت (شکل ۴). در لاین LC1064C میزان بیان در هفته اول (۷ روز بعد از اعمال تنش) در شدت‌های مختلف تنش از ۴۰ تا ۸۰ درصد روند کاهشی نشان داد، اما در هفته سوم از اعمال تنش (۲۱



شکل ۴. الگوی بیان فاکتور رونویسی AP2-Domain در لاین‌های ENSAT254 (متحمل) و LC1064C (حساس) آفتابگردن روغنی در سطوح تنش خشکی (۸۰، ۶۰ و ۴۰ درصد ظرفیت زراعی) یک و سه هفته بعد از اعمال تنش. میله خط (Error bar) در روی ستون‌ها انحراف استاندارد (SE) را نشان می‌دهد. FC: ظرفیت زراعی (مفهوم ظرفیت زراعی (Field Capacity) برای بیان ظرفیت نگهداری آب در خاک مورداستفاده قرار می‌گیرد). PSA: بعد از اعمال تنش.

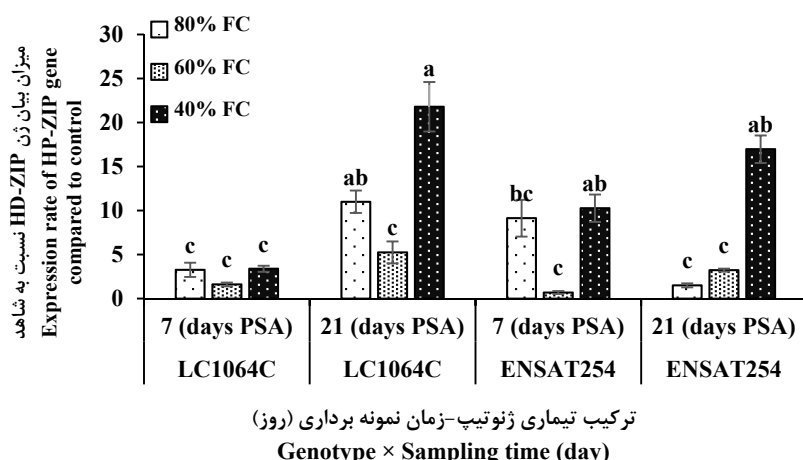
Fig. 4. Pattern of AP2-Domain transcription factor expression in ENSAT254 (tolerant) and LC1064C (sensitive) oilseed sunflower lines at 80, 60 and 40% drought stress levels, one and three weeks post stress application. The vertical lines on the columns show the standard error (SE). FC: Field capacity (The concept of field capacity is used to express the water holding capacity of soil). PSA: Post stress application

نسبی ژن در هفته اول نمونه‌برداری در تنش ۸۰ و ۴۰ درصد و کمترین میزان بیان در تنش ۶۰ درصد مشاهده شد. میزان بیان نسبی ژن در زمان نمونه‌برداری دوم (۲۱ روز بعد از اعمال تنش خشکی) روندی مشابه با زمان نمونه‌برداری اول (۷ روز بعد از اعمال تنش خشکی) نشان داد به‌طوری‌که بیشترین میزان بیان در تنش ۴۰ و ۸۰ و کمترین میزان بیان در شدت تنش ۶۰ درصد مشاهده شد. در مقایسه دو زمان نمونه‌برداری دوم میزان بیان در تمام شدت تنش‌ها در زمان نمونه‌برداری دوم (۲۱ روز بعد از اعمال تنش خشکی) بیشتر شده است. در مقایسه دو لاین موردمطالعه مشاهده شد میزان بیان در هفته اول نمونه‌برداری در شدت تنش ۴۰ درصد در لاین ENSAT254 خیلی بیشتر از لاین LC1064C بود. در زمان نمونه‌برداری دوم (۲۱ روز بعد از اعمال تنش خشکی) میزان بیان در هر دو لاین در شدت تنش ۴۰ درصد افزایش یافت، هرچند افزایش بیان در لاین LC1064C اندکی بیشتر بود؛ بنابراین، به نظر می‌رسد بیان زودهنگام این عامل رونویسی در افزایش مقاومت ژنوتیپ به تنش خشکی مهم باشد (شکل ۵).

بیشترین میزان بیان نسبی فاکتور رونویسی HD-ZIP در لاین ENSAT254 در هفته اول بعد از اعمال تنش (۷ روز بعد از اعمال تنش) در تیمارهای ۸۰ و ۴۰ درصد ظرفیت زراعی و کمترین مقدار در تنش ۶۰ درصد مشاهده شد (شکل ۵).

احتمالاً با افزایش بیان ژن در شدت تنش ۸۰ درصد ظرفیت زراعی، یک سازگاری به تنش در ژنوتیپ ایجاد شده و بنابراین ژنوتیپ نیازی به افزایش بیان ژن در شدت تنش ۶۰ درصد نمیدهد است. با پیش رویی شدت تنش و سخت شدن شرایط، ژنوتیپ برای ایجاد تحمل بیشتر دوباره نیاز به افزایش بیان ژن پیدا کرده است؛ بنابراین سیستم زیستی می‌توان گفت هوشمندانه عمل کرده است؛ چون افزایش هر نوع فرآورده‌های برای مقابله با تنش به قیمت صرف بخشی از فرآورده‌های فتوسنترزی به جای استفاده از آن در تولید عملکرد نهایی است (Madhava Rao et al., 2006).

در این لاین (ENSAT254) بعد از ۳ هفته از اعمال تنش روند افزایشی در بیان نسبی ژن در شدت‌های مختلف تنش مشاهده شد. به‌طوری‌که بیشترین میزان بیان ژن در تنش ۴۰ درصد مشاهده شد. در لاین LC1064C بیشترین میزان بیان



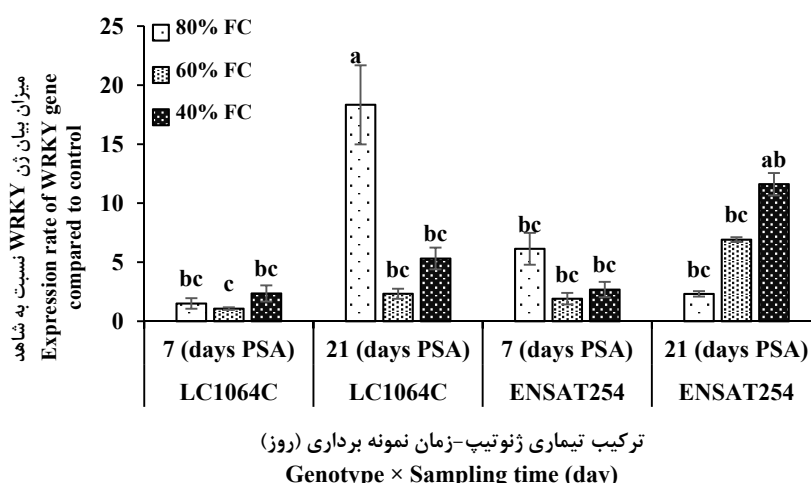
شکل ۵. الگوی بیان فاکتور رونویسی HD-ZIP در لاینهای ENSAT254 (متحمل) و LC1064C (حساس) آفتابگردان روغنی در سطوح تنش خشکی (۸۰، ۶۰ و ۴۰ درصد ظرفیت زراعی) یک و سه هفته بعد از اعمال تنش. میله خطای (Error bar) در روی ستون‌ها انحراف استاندارد (SE) را نشان می‌دهد. FC: ظرفیت زراعی. PSA: بعد از اعمال تنش.

Fig. 5. Pattern of HD-ZIP transcription factor expression in ENSAT254 (tolerant) and LC1064C (sensitive) oilseed sunflower lines at 80, 60 and 40% drought stress levels, one and three weeks post stress application. The vertical lines on the columns show the standard error (SE). FC: Field capacity. PSA: Post stress application

شاهد در شدت‌های مختلف تنش خصوصاً ۴۰ و ۶۰ درصد کاهش یافته است؛ اما در زمان نمونه‌برداری دوم (۲۱ روز بعد از اعمال تنش) میزان بیان نسبی ژن در شدت تنش ۴۰ درصد بهطور چشمگیری افزایش یافته است (شکل ۷). در لاین LC1064C نیز میزان بیان نسبی ژن در هفته اول در شدت تنش ۴۰ درصد کاهش اما در زمان نمونه‌برداری دوم (۲۱ روز بعد از اعمال تنش) در تنش‌های ۴۰ و ۶۰ درصد افزایش یافته است. درست است روند تغییرات بیان ژن در هر دو ژنتیپ موردمطالعه تا حدودی مشابه بود؛ اما شدت بیان در لاین ENSA254 بیشتر از لاین LC1064C بود (شکل ۷). عوامل رونویسی گروهی از ژن‌ها هستند که در زمان القا تنش معمولاً قبل از ژن‌های عملکردی بیان می‌شوند. در مطالعه‌ای نقش عوامل رونویسی در پاسخ گیاهان به بیماری‌ها مورد بررسی قرار گرفته است که از جمله می‌توان به مطالعه ژانگ و همکاران (Zhang et al., 2009) اشاره نمود که توانستند ژن GmERF3 که نوعی عامل رونویسی AP2/EFR است را از گیاه سویا به توتون منتقل نمایند و مشاهده نمودند که گیاه گیرنده مقاومت قابل توجهی نسبت به بیماری باکتریایی *Ralstonia solanacearum* و قارچی *Alternata alternaria* نشان داد.

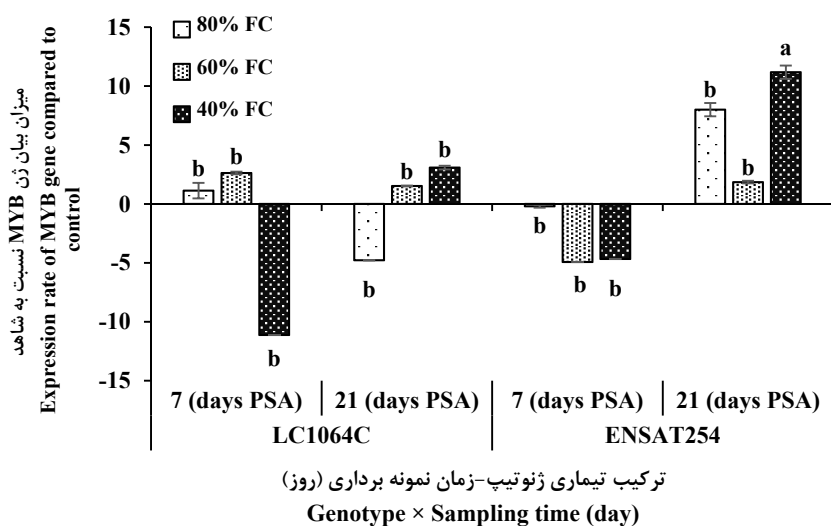
در رابطه با عامل رونویسی WRKY نتایج نشان داد که در لاین ENSAT254 با اعمال تنش خشکی میزان بیان نسبی فاکتور رونویسی WRKY در هفته اول (۷ روز بعد از اعمال تنش) در شدت‌های مختلف تنش روند کاهشی داشته است. به طوری که کمترین میزان بیان در شدت‌های تنش ۴۰ و ۶۰ و بیشترین میزان بیان در تنش ۸۰ مشاهده شد. در زمان نمونه‌برداری دوم (۲۱ روز بعد از اعمال تنش) بیشترین میزان بیان نسبی در شدت تنش ۴۰ درصد مشاهده شد. در لاین LC1064C در هفته اول (۷ روز بعد از اعمال تنش) میزان بیان نسبی ژن در شدت تنش ۸۰ درصد بیشتر از سایر تنش‌ها بود. در هفته سوم بعد از اعمال تنش روند افزایشی در میزان بیان ژن مشاهده شد. در مقایسه دو لاین LC1064C و ENSAT254 در زمان نمونه‌برداری دوم (۲۱ روز بعد از اعمال تنش) میزان بیان نسبی در تنش ۴۰ درصد در لاین ENSAT254 بسیار بیشتر از لاین LC1064C بود؛ بنابراین، شدت بیان بسته به ژنتیپ و سطح تنش متفاوت است که ناشی از واکنش متفاوت لاین‌ها به تنش خشکی است (شکل ۶).

در رابطه با عامل رونویسی MYB نتایج نشان داد که در لاین ENSA254 با اعمال تنش خشکی میزان بیان نسبی در MYB در هفته اول (۷ روز بعد از اعمال تنش) نسبت به



شکل ۶. الگوی بیان فاکتور رونویسی WRKY در لاین‌های ENSAT254 (متحمل) و LC1064C (حساس)، آفتابگردان روغنی در سطوح تنش خشکی (۴۰، ۶۰ و ۸۰ درصد ظرفیت زراعی) یک و سه هفته بعد از اعمال تنش. میله خط (Error bar) در روی ستون‌ها انحراف استاندارد (SE) را نشان می‌دهد. FC: ظرفیت زراعی. PSA: بعده از اعمال تنش.

Fig. 6. Pattern of WRKY transcription factor expression in ENSAT254 (tolerant) and LC1064C (sensitive) oilseed sunflower lines at 80, 60 and 40% drought stress levels, one and three weeks post stress application. The vertical lines on the columns show the standard error (SE). FC: Field capacity. PSA: Post stress application.



شکل ۷. الگوی بیان فاکتور رونویسی *MYB* در سطوح تنش خشکی (۸۰، ۶۰ و ۴۰ درصد ظرفیت زراعی) در لاین‌های ENSAT254 (متحمل) و LC1064C (حساس) آفتابگردان روغنی یک و سه هفته بعد از اعمال تنش. میله خطای (Error bar) در روی ستون‌ها انحراف استاندارد Log2 را نشان می‌دهد. FC: ظرفیت زراعی. PSA: بعد از اعمال تنش. از میزان بیان نسبی ژن *MYB* گرفته شده است (داده‌ها به SE بیان شده‌اند).

Fig. 7. Pattern of MYB transcription factor expression in ENSAT254 (tolerant) and LC1064C (sensitive) oilseed sunflower lines at 80, 60 and 40% drought stress levels, one and three weeks post stress application. The vertical lines on the columns show the standard error (SE). FC: Field capacity. PSA: Post stress application. The relative gene expression was reported as Log2 fold change.

bZIP5 در تنش شوری در رقم چینی بهاره کاهش و در رقم ماهوتی افزایش یافت؛ اما در رابطه با ژن bZIP1 میزان بیان در رقم چینی بهاره افزایش و در رقم ماهوتی کاهش یافت. Giacomelli et al., 2010 نقش گیاکوملی و همکاران (Giacomelli et al., 2010) عوامل رونویسی در پاسخ به تنش‌های زیستی و غیرزیستی در آفتابگردان را بررسی کردند. در مطالعه آن‌ها با آنالیز-qRT-PCR مشخص شد که همبستگی مثبتی بین بیان عوامل WRKY و مقاومت به تنش‌های زیستی و غیر زیستی وجود دارد. در مطالعه دیگری (Esmailzadeh et al., 2018) با بهکارگیری تکنولوژی Real-time PCR میزان بیان پنج عامل رونویسی از خانواده bZIP در شرایط مختلف تنش اسمزی در آفتابگردان بررسی شد. در این مطالعه از گیاهچه‌های کامل ۶، ۱۲ و ۲۴ ساعت بعد از اعمال تنش اسمزی نمونه‌برداری شد. بررسی نتایج نشان داد از میان ژن‌های مورد بررسی، دو ژن bZ-497 و bZ-502 عوامل پاسخ‌گو به تنش خشکی هستند. در ژن bZ-497 افزایش بیان در ساعات اولیه تنش مشاهده شد و به عنوان ژن پاسخ‌گوی اولیه دسته‌بندی شد

در پژوهش رهایی و همکاران (Rahaii et al., 2012) بر روی دو ژنوتیپ گندم تحت تنش شوری بلندمدت مشاهده شد بیان هر دو ژن WRKY1 و WRKY2 در رقم ماهوتی (متحمل) در پاسخ به تنش افزایش یافت. مشاهده شد که اعمال تنش شوری در رقم چینی بهاره (حساس)، تأثیری بر سطح بیان این دو ژن نداشته و نسبت به شرایط غیر تنش سطح بیان ژن‌ها ثابت باقی ماند. محققین فوق نتیجه‌گیری کردند که این ژن‌ها چون منحصرأ در رقم متتحمل بیان شدند، بنابراین احتمالاً باعث افزایش تحمل رقم متتحمل (ماهوتی) به تنش شوری می‌شوند. در رابطه با دو ژن MYB2 و MYB3 مشاهده شد در رقم ماهوتی (متحمل) سطح بیان هر دو ژن در شرایط تنش افزایش یافت، اما در رقم چینی بهاره (حساس) تنها MYB2 به تیمار شوری پاسخ داد و میزان بیان آن کاهش یافت. محققین فوق نتیجه‌گیری کردند که احتمالاً MYB3 ژنی است که اختصاصاً در رقم متتحمل بیان می‌شود. بررسی تغییر الگوی بیان ژن‌های خانواده bZIP نشان داد که از چهار عضو انتخابی این خانواده دو عضو bZIP در پاسخ به تنش شوری در گندم شرکت داشتند. میزان بیان

راهانداز ژن‌های پاسخ‌دهنده به خشکی، شوری و سرما (Shinozaki and Yamaguchi-Shinozaki, 2007) (RDZ9A, COR78, LT178) دارای دو عنصر فعال سیس ABRE و DRE/CRT هستند که هردوی آن‌ها در القای Shinozaki and Yamaguchi-Shinozaki, 2007) بیان ژن طی تنش دخالت دارند ().

راهاندازهای مربوط به ژن‌های القاشهه با ABA دارای توالی‌های تنظیمی هستند که به‌وسیله‌ی عوامل فعال ترانس در انتقال پیام ABA شناسایی می‌شوند. بین این توالی‌ها، ABA (C/T)ACGTGGC است که به عنوان عنصر تنظیمی اصلی سیس و کنترلِ واپسیه به ABA بیان ژن‌ها، شناخته می‌شود (Hirayama and Shinozaki, 2010). این توالی به‌وسیله‌ی AREB (عامل متصل به ABA) (Uno et al., 2000) یا ABF (عامل متصل به ABRE) (Choi et al., 2000) نیز نامیده می‌شوند، شناسایی می‌شوند. با این اوصاف تمام ژن‌های القاشهه با ABA در راهانداز خود حاوی موتیف ABRE نیستند. MYC و MYB دو عنصر تنظیمی سیس بشمار می‌روند که در تنظیم بیان ژن عنصر تنظیمی سیس بهمراه می‌شوند که در تنظیم بیان ژن گیاهان به تنش اکسیداتیو می‌شود (Abe et al., 2003). نقش عوامل رونویسی ZIPها در پیام‌رسانی تنش و Uno et al., 2000; Choi et al., 2000 (برنج)، Hossain et al., 2008 (Kobayashi et al., 2008)، گندم (Casaretto and Ho, 2003) (Hsieh et al., 2003)، گوجه‌فرنگی (Muñiz et al., 2010; Orellana et al., 2010) (Sibar-Zamini et al., 2011) (García et al., 2011) طی خشکی یک پاسخ سازگار دهنده محسوب می‌شود که به‌وسیله‌ی ABA کنترل می‌شود.

بنابراین جمع‌بندی نتایج به همراه نتایج مطالعه اخیر حاکی از نقش مثبت عوامل رونویسی در القای مقاومت به تنش‌های غیر زیستی در گیاهان از جمله آفتاگرگدان است.

در حالی که ژن bZ-502 دیر به تنش اسمزی پاسخ داد که احتمالاً نشان می‌دهد این ژن در ایجاد پاسخ‌های پایدارتر در شرایط تنش اسمزی نقش دارد (Esmailzadeh et al., 2018).

در تعدادی از مطالعات سرکوب عوامل رونویسی در پاسخ به تنش همچون مطالعه اخیر دیده شده است (Janmohammadi and Mahfoozi, 2013) (Agarwal et al., 2006; Gao et al., 2004; Novillo et al., 2002).

در برنج بیان OsWRKY78 به‌وسیله‌ی تنش شوری و استعمال خارجی اسید آبسیزیک (ABA) افزایش یافت؛ در حالی که بیان آن به‌وسیله جیبرلین (GA) و اعمال دمای پایین کاهش یافت و تحت تنش خشکی تغییراتی در بیان آن مشاهده نشد. در آرابیدوپسیس چهار ژن (AtWRKY25، AtWRKY40، AtWRKY28 و AtWRKY70) طی تنش اکسیداتیو و همچنین تنش اسمزی، شوری، گرما و سرما بیان شدند (Seki et al., 2002). ژن BhWRKY در B. BhGOIS1 قبل از القای بیان ژن hygromtria به‌وسیله‌ی پسابیدگی با تیمار با ABA القا شد که این امر حاکی از دخالت ژن موردنظر در مسیر پیام‌رسانی واپسیه به ABA برای تنظیم بیان ژن GOIS است (Wang et al., 2009). تشدید بیان ژن HvWRKY جو در Bahiagrass سبب بهبود در تحمل به تنش پسابیدگی شد (Xiong et al., 2010). در برنج تشدید بیان OsWRKY11 سبب ارتقای تحمل به تنش خشکی و گرما شد. در حالی که تشدید بیان OsWRKY45 و OsWRKY72 به شوری را بهبود بخشید (Qiu and Yu, 2009). افزایش بیان ژن‌های GmWRKY13 و GmWRKY8 فقط تحمل به شوری و خشکی شد. تشدید بیان HvWRKY38 جو که با ژن OsWRKY8 موجب افزایش تحمل به تنش خشکی (OsWRKY8) موجب افزایش تحمل به تنش خشکی و شوری شد. همچنین بیان ژن‌های HvWRKY38 و HvWRKY71 آرابیدوپسیس به ترتیب موجب افزایش تحمل به تنش خشکی و اسمزی شد. ژن HvWRKY38 جو که با ژن HvWRKY38 همolog است تحت تنش دمای پایین، خشکی و پسابیدگی تغییر بیان نشان داد.

نتیجه‌گیری نهایی

طبق این نتایج، فاکتورهای رونویسی HD-AP2-Domain، ZIP و MYB بهویژه بالقوه AP2-Domain و MYB در مکانیسم مقاومت آفتابگردان به تنش خشکی نقش دارند. از طرف دیگر با توجه به تأیید مقاومت لاین مقاوم (ENSAT254) در سطح مولکولی، می‌توان از این لاین در تولید رقم مقاوم به تنش خشکی در آفتابگردان روغنی استفاده کرد. افزایش بیان ژن‌های دخیل در مقاومت و دستکاری‌های مولکولی ژن‌های مقاومت برای افزایش تأثیر آن‌ها در برابر تنش خشکی، استفاده تجاری از مهندسی ژنتیک را در گیاهان فراهم می‌کند (Mohamadian et al., 2014). (Farsani et al., 2014).

تشکر و قدردانی

از دانشکده کشاورزی و منابع طبیعی دانشگاه ارومیه به خاطر فراهم نمودن امکانات لازم برای انجام این پژوهش و همچنین از انسستیتو تحقیقات آگرونومی تولوز فرانسه به خاطر در اختیار قرار دادن بذور لاین‌های خالص آفتابگردان روغنی تشکر و قدردانی می‌شود. از داوران محترم بی‌نام به خاطر ارائه نظرات ارزنده جهت بهبود سطح علمی مقاله سپاسگزاری می‌شود.

تکنولوژی DNA نوترکیب از طریق همسانه سازی و انتقال ژن‌های مؤثر نقش مهمی در افزایش مقاومت گیاهان به تنش‌های زیستی و غیر زیستی داشته است. ازانجاكه ژنتیک تحمل به اکثر تنش‌های غیر زیستی پلی ژنیک است و تعداد زیادی ژن در کنترل آن‌ها دخالت دارند انتقال و بیان یک ژن عملکردی قادر به ایجاد تغییرات کامل در پاسخ گیاه به تنش‌ها و ایجاد مقاومت در سطح مطلوب در گیاه نیست. عوامل رونویسی که در تنظیم مسیرهای انتقال پیام و بیان ژن‌ها دخالت دارند در گروه ژن‌های تنظیمی گروه‌بندی می‌شوند و کاندیدای مناسب برای انتقال و افزایش مقاومت گیاهان می‌باشند. این عوامل با عناصر تنظیمی سیس موجود در ناحیه راهانداز ژن‌های زیادی که در پاسخ به تنش‌ها مؤثرند برهمنکش نشان داده و سبب تنظیم بیان آن‌ها می‌شوند؛ بنابراین یافته‌های تحقیق حاضر می‌تواند در برنامه‌های اصلاح مولکولی آفتابگردان برای تولید و توسعه ارقام مقاوم به تنش خشکی مفید و فایده بوده و راه را برای کاهش خسارات ناشی از این تنش در آفتابگردان هموار نماید.

منابع

- Abe, H., Urao, T., Ito, T., Seki, M., Shinozaki, K., Yamaguchi- Shinozaki, K., 2003. Arabidopsis AtMYC2 (bHLH) and AtMYB2 (MYB) function as transcriptional activators in abscisic acid signaling. *Plant Cell.* 15, 63-78.
- Agarwal, M., Hao, Y., Kapoor, A., Dong, C. H., Fuji, H., Zheng, X., Zhu, J. K., 2006. A R2R3 type MYB transcription factor is involved in the cold regulation of CBF genes and in acquired freezing tolerance. *Journal of Biological Chemistry.* 281, 37636-37645.
- Aharoni, A., Dixit, S., Jetter, R., Thoenes, E., Van Arkel, G., Pereira, A., 2004. The SHINE clade of AP2 domain transcription factors activates wax biosynthesis, alters cuticle properties, and confers drought tolerance when overexpressed in *Arabidopsis*. *The Plant Cell.* 16, 2463-2480.
- Athar, H.R. Ashraf, M., 2005. Photosynthesis under drought stress. In: Pessarakli, M. (ed.), *Handbook of Photosynthesis*. CRC Press, Taylor and Francis Group, New York, pp. 793-804.
- Brunner, E., Domhof, S., Langer, F., 2002. *Nonparametric Analysis of Longitudinal Data in Factorial Experiment*. New York: Wiley.
- Casaretto, J. Ho, T.H., 2003. The transcription factors HvABI5 and HvVP1 are required for the abscisic acid induction of gene expression in barley aleurone cells. *Plant Cell.* 15, 271-284.
- Chew, W., Hrmova, M., Lopato, S., 2013. Role of homeodomain leucine zipper (HD-ZIP) IV transcription factors in plant development and plant protection from deleterious environmental factors. *International Journal of Molecular Sciences.* 14, 8122-8147.
- Choi, H., Hong, J., Ha, J., Kang, J. and Kim, S.Y., 2000. ABFs, a family of ABA-responsive element binding factors. *Journal of Biological Chemistry.* 21, 1723-1730.

- Darvishzadeh, R., Pirzad, A., Hatami Maleki, H., Poormohammad Kiani S., Sarrafi A. 2010. Evaluation of the reaction of sunflower inbred lines and their F1 hybrids to drought conditions using various stress tolerance indices. Spanish Journal of Agricultural Research. 8, 1037-1046.
- Darvishzadeh, R., Pirzad, A., Bernousi, I., Abdollahi Mandoulakani, B., Azizi, H., Akhondi, N., Poormohammad Kiani S., Sarrafi A. 2011. Genetic properties of drought tolerance indices in sunflower, *Acta Agriculturae Scandinavica, Section B - Soil & Plant Science*. 61, 593-601.
- Darvishzadeh, R., Hewezi, T., Gentzbittel, L., Sarrafi, A., 2008. Differential expression of defence-related genes between compatible and partially compatible sunflower-*Phoma macdonaldii* interactions. *Crop Protection*. 27, 740-746.
- Dynowski, M., Schaaf, G., Loque, D., 2008. Plant plasma membrane water channels conduct the signaling molecule H₂O₂. *Journal of Biochemical and Pharmacological Research*, 414, 53-61.
- Esmailzadeh Mianlengeh, Z., Soltani Najafabadi, M., Saidi, A., Askari H., 2018. Monitoring response of a few bZip transcription factors in response to osmotic stress in sunflower. *Iranian Journal of Biotechnology*. 16(2), e1422. [In Persian with English summary].
- FAO. 2018. Food and Agriculture Organization of the United Nations (FAO), Rome, Italy. Available from: <http://www.faostat.fao.org/>
- Gao, M. J., Allard, G., Byass, L., Flanagan, A. M., Singh, J., 2002. Regulation and characterization of four CBF transcription factors from *Brassica napus*. *Plant Molecular Biology*. 49, 459-471.
- Giacomelli, J. I., Ribichich, K. F., Dezar, C. A., Chan, R. L., 2010. Expression analyses indicate the involvement of sunflower WRKY transcription factors in stress responses, and phylogenetic reconstructions reveal the existence of a novel clade in the Asteraceae. *Plant Science*. 178(4), 398-410.
- Hasanuzzaman, M., Mahabub Alam, M., Nahar, K., Al-Mahmud, J. K., Fujita, M., 2014. Exogenous Salicylic acid alleviates salt stress-induced oxidative damage in *Brassica napus* by enhancing the antioxidant defense and glyoxalase systems. *Australian Journal of Crop Science*. 8, 631-639.
- Hasanuzzaman, M. Fujita, M., 2013. Exogenous sodium nitroprusside alleviates arsenic-induced oxidative stress in wheat (*Triticum aestivum* L.) seedling by enhancing antioxidant defense and glyoxalase system. *Ecotoxicology*. 22, 584-596.
- Heidarvand, L., Amiri Maali, R., 2013. Physiobiochemical and proteome analysis of chickpea in early phases of cold stress. *Journal of Plant Physiology*. 170, 459-469.
- Hirayama, T. Shinozaki, K., 2010. Research on plant abiotic stress responses in the post-genome era: past, present and future. *The Plant Journal*. 61, 1041-1052.
- Hossain, M.A., Cho, J.-I., Han, M., Ahn, C.-H., Jeon, J.-S., An, G., Park, P.B., 2010. The ABRE-binding bZIP transcription factor OsABF2 is a positive regulator of abiotic stress and ABA signaling in rice. *Journal of Plant Physiology*. 167, 1512-1520.
- Hsieh, T.H., Li, C.W., Su, R.C., Cheng, C.P., Sanjaya Tsai, Y.C., Chan, M.T., 2010. A tomato bZIP transcription factor, SIAREB, is involved in water deficit and salt stress response. *Planta*. 231, 1459-1473.
- Janmohammadi, M. Mahfoozi, S., 2013. Regulatory network of gene expression during the development of frost tolerance in plants. *Current Opinion in Agriculture*. 2, 11-19.
- Javelle, M., Klein-Cosson, C., Vernoud, V., Boltz, V., Maher, C., Timmermans, M., Rogowsky, P., 2011. Genome-wide characterisation of the HD-ZIP IV transcription factor family in maize: preferential expression in the epidermis. *Plant Physiology*. 157, 790-80
- Kobayashi, F., Takumi, S., Nakamura, C., 2008. Increased freezing tolerance in an ABA-hypersensitive mutant of common wheat. *Journal of Plant Physiology*. 165, 224-32
- Lohar, D.P., Haridas, S., Gantt, J.S., 2007. A transient decrease in reactive oxygen species in roots leads to root hair deformation in the legume-rhizobia symbiosis. *New Phytologist*. 173, 39-49.
- Madhava Rao, K.V, Raghavendra, A.S., Janardhan Reddy, K. 2006. *Physiology and Molecular Biology of Stress Tolerance in Plants*. Springer Netherlands.

- Mare, C., Mazzucotelli, E., Crosatti, C., Francia, E., Cattivelli, L., 2004. Hv-WRKY38: a new transcription factor involved in cold-and drought-response in barley. *Plant Molecular Biology*. 55, 399-416.
- Mohamadian Farsani, A., Hatami Maleki, H., Darvishzadeh, R., Hoshyardel, F., 2014. Study of changes in the phenylalanine ammonia-lyase 2 (PAL2) and thaumatin-like protein (TLP) genes in sunflower genotypes in response to fungal isolates associated with the black stem disease. *Crop Biotechnology*. 7, 15-23. [In Persian].
- Muñiz García, M. N., País, S. M., Téllez-Iñón, M. T., Capiati, D. A., 2011. Characterization of StPPI1, a proton pump interactor from *Solanum tuberosum* L. that is up-regulated during tuber development and by abiotic stress. *Planta*. 233, 661-674.
- Novillo, F., Alonso, J. M., Ecker, J. R., Salinas, J., 2004. CBF2/DREB1C is a negative regulator of CBF1/DREB1B and CBF3/DREB1A expression and plays a central role in stress tolerance in Arabidopsis. *Proceedings of the National Academy of Sciences of USA*. 101, 3985-3990.
- Orellana, S., Yanez, M., Espinoza, A., Verdugo, I., Gonzalez, E., Ruiz-Lara, S., Casaretto J. A., 2010. The transcription factor SlAREB1 confers drought, salt stress tolerance, and regulates biotic and abiotic stress-related genes in tomato. *Plant Cell and Environment*. 33, 2191-2208.
- Pffafli, M. W., 2001. A new mathematical model for relative quantification in real-time RT-PCR. *Nucleic Acids Research*. 29, e45-e45.
- Poormohammad Kiani, S., Grieu, P., Maury, P., Hewezi, T., Gentzbittel, L., and Sarrafi, A. 2007. Genetic variability for physiological traits under drought conditions and differential expression of water stress-associated genes in sunflower (*Helianthus annuus* L.). *Theoretical and Applied Genetics*. 114, 193-207.
- Qiu, Y. Yu, D., 2009. Over-expression of the stress-induced OsWRKY45 enhances disease resistance and drought tolerance in Arabidopsis. *Environmental and Experimental Botany*. 65: 35-47.
- Rabbani, M. A., Maruyama, K., Abe, H., Khan, M. A., Katsura, K., Ito, Y., Yamaguchi-Shinozaki, K., 2003. Monitoring expression profiles of rice genes under cold, drought, and high-salinity stresses and abscisic acid application using cDNA microarray and RNA gel-blot analyses. *Plant Physiology*. 133, 1755-1767.
- Rahaii, M., Gomarian, M., Alizadeh, H., Melbobi, M. A., Naghavi, M. R., 2012. The expression analysis of transcription factors under long term salt stress in tolerant and susceptible wheat genotypes using reverse northern blot technique. *Iranian Journal of Crop Sciences*. 13, 580-595. [In Persian with English summary].
- Riechmann, J. L., Heard, J., Martin, G., Reuber, L., Jiang, C. Z., Keddie, J., Creelman, R., 2000. Arabidopsis transcription factors: genome-wide comparative analysis among eukaryotes. *Science*. 290, 2105-2110.
- Seki, M., Ishida, J., Narusaka, M., Fujita, M., Nanjo, T., Umezawa, T., Kamiya, A., Nakajima, M., Enju, A., Sakurai, T., Satou, M., Akiyama, K., Yamaguchi-Shinozaki, K., Carninci, P., Kawai, J., Hayashizaki, Y., Shinozaki, K., 2002. Monitoring the expression pattern of around 7,000 Arabidopsis genes under ABA treatments using a full-length cDNA microarray. *Funct. Integr. Genomics*. 2, 282-291.
- Xiong, X., 2010. Constitutive expression of the barley HvWRKY38 transcription factor enhances drought tolerance in turf and forage grass (*Paspalum notatum* Flugge). *Molecular Breeding*. 25, 419-432.
- Shah, D.A. Madden, L.V., 2004. Nonparametric analysis of ordinal data in designed factorial experiment. *Phytopathology*. 94, 33-43.
- Shinozaki, K. Yamaguchi-Shinozaki, K., 2007. Gene networks involved in drought stress response and tolerance. *Journal of Experimental Botany*. 58, 221-7.
- Soleimani, G.A., Darvishzadeh, R., Ebrahimi, A., Bihamta, M.R., 2018. Identification of SSR and retrotransposon-based molecular markers linked to morphological characters in oily sunflower under natural and water-limited states. *Journal of Genetics*. 97, 189-203.
- Uno, Y., Furihata, T., Abe, H., Yoshida, R., Shinozaki, K., Yamaguchi-Shinozaki, K., 2000. Arabidopsis basic leucine zipper transcription factors involved in an abscisic acid-dependent signal transduction pathway under drought and high-salinity conditions. *Proceedings of the National Academy of*

- Sciences of the United States of America. 97, 11632-11637.
- Wang, Z., Zhu, Y., Wang, L., Liu, X., Liu, Y., Phillips, J., Deng, X., 2009. A WRKY transcription factor participates in dehydration tolerance in *Boea hygrometrica* by binding to the W-box elements of the galactinol synthase (BhGolS1) promoter. *Planta*. 230, 1155–1166.
- Wang, H. H., Hao, J. J., Chen, X. J., Hao, Z. N., Wang, X., Lou, Y. G., Peng, Y. L., Guo, Z. J., 2007. Overexpression of rice WRKY89 enhances ultraviolet B tolerance and disease resistance in rice plants. *Plant Molecular Biology*. 65, 799–815
- Yamaguchi-Shinozaki, K., Shinozaki, K., 2006. Transcriptional regulatory networks in cellular responses and tolerance to dehydration and cold stresses. *Annual Review Plant Biology*. 57, 781-803.
- Zhang, G., Chen, M., Li, L., Xu, Z., Chen, X., Guo, J., Ma, Y., 2009. Overexpression of the soybean GmERF3 gene, an AP2/ERF type transcription factor for increased tolerances to salt, drought, and diseases in transgenic tobacco. *Journal of Experimental Botany*. 60, 3781-3796.